

## Абсолютное определение числа нейтронов испускаемых источником, методом сопутствующих частиц

**А. С. Карамян, Б. И. Кузеев, Р. П. Кресс, Ю. С. Силин,  
Г. М. Стуков, В. Т. Щеболев, И. А. Ярицына**

Метод сопутствующих частиц основан на сравнении потока нейтронов от исследуемого источника с потоком нейтронов из реакции  $T(d, n)He^4$ . Так как в этой реакции каждому вылетающему нейtronу сопутствует одна  $\alpha$ -частица, то по абсолютному счету  $\alpha$ -частиц можно определить число испускаемых нейтронов. В среде, для которой длина замедления меньше длины диффузии, можно найти такое расстояние от источника до детектора тепловых нейтронов, на котором плотность тепловых нейтронов практически не зависит от энергии испускаемых источником нейтронов, а определяется только его интенсивностью. В нашей работе в качестве такой среды использовался графит в виде шара диаметром 4 м.

Идея постановки данной работы во ВНИИМ принадлежит А. С. Карамяну. Им же на основании работы [1] были проведены предварительные расчеты замедлителя. Н. Н. Флеров и В. М. Талызин [2] использовали в принципе такой же метод и получили погрешность абсолютных измерений  $\pm 4\%$ . Мы предприняли попытку более детального исследования метода и экспериментально определили необходимые поправки с целью существенно повысить точность измерений.

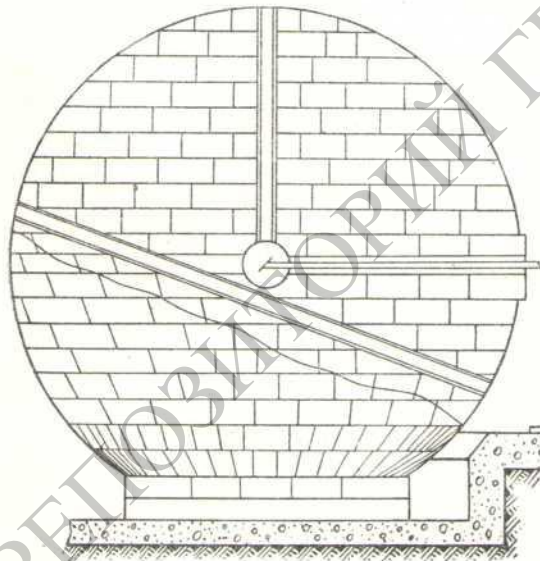


Рис. 1. Схема конструкции графитового шара.

Установка состоит из графитового шара, в центре которого имеется сферическая полость диаметром 40 см. Внутри полости находится тритиевая мишень ускорительной трубки. Схема конструкции графитового

шара представлена на рис. 1. Мишень с ионопроводом вводится в шар по горизонтальному каналу диаметром 175 мм. Два наклонных взаимно-перпендикулярных канала пересекают шар по хорде, близкой к диаметру, около центральной полости. По этим каналам перемещается детектор тепловых нейтронов, который измеряет распределение нейтронов в шаре. Расположенный по радиусу вертикальный канал соединяется с центральной сферической полостью. Как вертикальный, так и оба наклонных канала имеют диаметр 90 мм. Все каналы графитового шара заполняются графитовыми вкладышами. В качестве детекторов тепловых нейтронов используются борные счетчики, наполненные трехфтористым бором до давления  $\sim 110$  мм рт. ст. (обогащение  $B^{10} 83\%$ ).

Нейтроны с энергией  $\sim 14$  МэВ получаются при бомбардировке твердой тритиево-циркониевой мишени пучком дейтонов, ускоренных на высоковольтном (100 кВ) генераторе.

При выходе пучка ионов из ускорительной части установлен анализирующий электромагнит с напряженностью магнитного поля в зазоре  $\sim 500$  э, отклоняющий пучок дейтонов на  $\sim 6^\circ$ . Счетчик  $\alpha$ -частиц жестко устанавливается под определенным углом к направлению дейтонового пучка. Для разделения полости счетчика и камеры мишени служит слюда толщиной 3–5 мк. Счетчик наполняется при давлении 300–400 мм рт. ст. (95,5% Ag и 4,5% CO<sub>2</sub>). Входное окно в счетчике (диаметром 2 мм) закрыто слюдой и расположено в торце счетчика. Для того чтобы мишень облучалась равномерно, была использована система «размазывания» пучка дейтонов. Это достигалось воздействием на пучок заряженных частиц двумя взаимно-перпендикулярными магнитными полями с различными частотами.

Измерения проводились следующим образом. Графитовый шар градуировался по быстрым монохроматическим нейтронам с энергией  $\sim 14$  МэВ из реакции  $T(d, n)He^4$ . Число нейтронов из реакции определялось по абсолютному измерению числа  $\alpha$ -частиц. При этом в одном из наклонных каналов помещался борный счетчик, с помощью которого измерялось распределение нейтронов в графитовом шаре. Во втором наклонном канале находится счетчик, выполняющий функции монитора.

Число нейтронов, вылетающих из источника и создающих распределение  $Q(r)$  тепловых нейтронов в замедлителе, согласно работе [3], равно

$$Q = \frac{4\pi}{\tau} \int_0^{\infty} Q(r) r^2 dr,$$

где  $\tau$  — время жизни теплового нейтрона;  $r$  — расстояние от источника до детектора. В процессе измерения

найдены кривые распределения плотности тепловых нейтронов  $N(r) = f(r)$ , построены кривые распределения  $N(r)r^2 = \varphi(r)$  и, наконец, определены нормированные по Ферми кривые  $\varrho(r)r^2 = \frac{N(r)r^2}{\int_0^\infty N(r)r^2 dr}$ .

На рис. 2 приведены эти кривые для трех различных источников. Точка пересечения кривых определяет радиус постоянной эффективности для данной установки. Из рисунка видно, что это расстояние в нашем

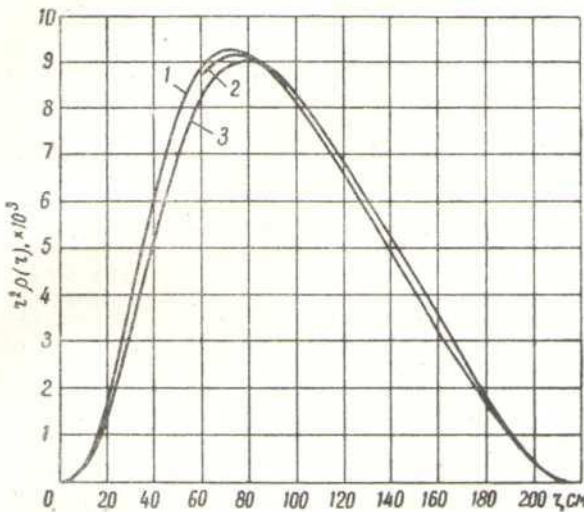


Рис. 2. Кривые пространственного распределения тепловых нейтронов в графитовом шаре:

1 — для нейтронов Ra—Be-источника; 2 — для нейтронов Po—Be-источника; 3 — для нейтронов, полученных из реакции  $T(d, n) \text{He}^4$ .

случае составляет 82 см. Таким образом, для нахождения числа нейтронов, испускаемых различными источниками, нет необходимости измерять полные кривые распределения тепловых нейтронов в графитовом шаре, а достаточно определить число отсчетов детектора на расстоянии постоянной эффективности. При этом измеряемый источник помещается на место тритиевой

мишени в центре сферической полости. Тогда выход измеряемого источника  $Q_x$  находится из соотношения

$$Q_x = Q_T \frac{N_x}{N_T},$$

где  $Q_T$  — выход нейтронов из реакции  $T(d, n) \text{He}^4$ ;  $N_T$  и  $N_x$  — скорости счета борного счетчика соответственно при измерении нейтронов из реакции  $T(d, n) \text{He}^4$  и исследуемого источника на расстоянии постоянной чувствительности.

При определении этим методом абсолютного числа нейтронов, испускаемых Ra —  $\alpha$  — Be-источником, вводились следующие поправки, значения которых были определены экспериментально:

- 1) на поглощение нейтронов в измеряемом источнике  $\leq (0,2 \pm 0,4)\%$ ;
- 2) на фон  $\alpha$ -счетчика  $(0,40 \pm 0,02)\%$ ;
- 3) на размножение нейтронов в материале узла мишени  $(0,5 \pm 0,2)\%$ ;
- 4) на добавку за счет  $(d, d)$ -реакции  $(0,20 \pm 0,05)\%$ ;
- 5) на различие чувствительности системы к нейтронам из реакции  $T(d, n) \text{He}^4$  и нейtronам источника  $(9,7 \pm 1,3)\%$ .

Кроме того, при вычислении погрешности результата в нашем случае следует учитывать:

- 1) погрешность определения телесного угла  $\pm 0,3\%$ ;
- 2) погрешность коэффициента перехода  $\pm 0,4\%$ ;
- 3) погрешность, обусловленную статистикой при измерении  $\alpha$ -частиц,  $\pm 0,1\%$ .
- 4) погрешность на неточность установки источника и детектора  $\pm 0,05\%$ .

С учетом этих поправок мы определили выход Ra —  $\alpha$  — Be-источников типа 2ЭН-100 и 2ЭН-500:

$$Q_{2\text{EN}-100} = 1,03 \cdot 10^6 \text{ нейтр/сек};$$

$$Q_{2\text{EN}-500} = 6,28 \cdot 10^6 \text{ нейтр/сек}.$$

Среднеквадратичная погрешность метода составляет около  $\pm 1,4\%$ .

Поступило в Редакцию 18/IV 1963 г.

#### ЛИТЕРАТУРА

1. P. Wallace. Nucleonics, 4, No. 2 (1949).
2. Н. Н. Флеров, В. М. Талызин. «Атомная энергия», 3, 291 (1957).
3. K. Larsson. Arkiv fys., 7, 25 (1953).

УДК 539.125.5.083

## Абсолютное измерение выхода нейтронных источников методом активации марганца

А. А. Константинов, В. И. Фоминых, И. А. Ярицына

Из всех применяемых в метрологии методов абсолютных нейтронных измерений [1—5] наиболее широкое распространение в метрологических национальных учреждениях получил метод активации марганца. Этот метод основан на абсолютном измерении активности  $Mn^{56}$ , полученной под действием нейтронов источника, помещенного в центре большого бака, наполненного раствором сернокислого марганца.

Так как тепловые нейтроны поглощаются ядрами марганца, водорода и серы, то число испускаемых

источником нейтронов можно определить из выражения

$$Q = \frac{Q_{Mn}\sigma_{Mn} + Q_S\sigma_S + Q_H\sigma_H}{Q_{Mn}\sigma_{Mn}} Q_{Mn}, \quad (1)$$

где  $Q_{Mn}$ ,  $Q_S$ ,  $Q_H$  — число ядер марганца, серы и водорода в 1  $\text{cm}^3$  раствора;  $\sigma_{Mn}$ ,  $\sigma_S$ ,  $\sigma_H$  — соответствующие сечения захвата тепловых нейтронов;  $Q_{Mn}$  — полная активность марганца.